

# 薄壁箱形梁在偏载作用下的计算

铁道工程系73级教育革命实践队箱形梁计算小组

长沙铁道学院科技情报室

一九七六年十月

# 毛主席语录

思想上政治上的路线正确与否是决定一切的。

要搞马克思主义，不要搞修正主义；要团结，不要分裂，  
要光明正大，不要搞阴谋诡计。

自力更生为主，争取外援为辅，破除迷信，独立自主地干  
工业、干农业，干技术革命和文化革命，打倒阶级恩想，埋葬  
教条主义，认真学习外国的经验，也一反研究外国的坏经验  
——引以为戒，这就是我们的路线。

## 前 言

万里东风舞红旗，八亿神州尽开颜。连日来全国亿万人民热烈庆祝华国锋同志任中国共产党中央委员会主席、中国共产党中央军事委员会主席，欢呼伟大领袖毛主席生前的英明决策得到实现，我们党又有了自己的英明领袖华国锋主席，热烈庆祝粉碎天洪文、张春桥、江青、姚文元反党集团篡党夺权阴谋的伟大胜利，愤怒声讨“四人帮”的滔天罪行。“四人帮”祸国殃民，罪恶滔天。除掉“四害”，大快人心，大得人心，我国的无产阶级专政更加巩固，人民群众意气风发，斗志昂扬。伟大的社会主义祖国到处歌舞燕舞。

社会主义革命的深入发展；推动教育革命深入发展。今年我系大学生教育革命实践队在××桥工地，开门办学，接受工人阶级的再教育，向工人、工程技术人员学习，向实践学习，把教学和生产劳动结合起来。在桥处党委和实践队党支部的领导下，工农兵学员6人教师一人，参加了××桥箱形梁的计林。在现场同志的帮助下，用了一个半月的时间，基本完成了箱形梁偏载应力的计林，见本资料第一部分——实例，探讨了一种计林箱形梁偏载应力和位移的方法，比较简便易懂，计林结果比较符合物理概念，见本资料第一部分——计林原理。

箱形梁在偏载作用下的计林内容，主要是畸变与扭转。  
[注] 我们按《桥梁建设》介绍的外国方法——《无隔板箱形梁的计林》计林畸变，出乎意料，计林的畸变大得惊人，畸变沿梁跨的变化不符合物理概念，经多次核对，计林无误，可能是计林理论有问题。我们再次研究了那篇文章，发现它关于梁端剪力的边界条件使用了两次。因为它先导出钢板窄矩的四阶微分方程，需要深

[注] 《桥梁建设》1976年第1期连载“国外桥梁”⑦

板两端的剪力和弯矩的边界条件，才能解出四个积分常数，进而求得梁板弯曲。然后它将梁板弯曲积分两次以得出梁的变形方程式（ $\psi$ ），它用了箱形梁两端的端隔墙畸变条件，以确定两个积分常数。虽然字面上它是按无限长梁计算的，但计算实质是上述的那样。计算证明，梁板两端的剪力是端隔墙畸变的函数，用了梁板两端的剪力边界条件，就是用了端隔墙的畸变条件，所以那篇文章关于梁板剪力的边界条件多用了一次，这样，计算结果当然不合理。发现问题以后，我们就抛弃了那篇文章的计算方法，在钢筋梁桥模型偏载试验资料分析方法（见参考资料3）的基础上，摸索本资料中梁畸变的计算方法。这一次计算成功，使我们进一步体会到毛主席教导的无比光明、正确。毛主席早在40年代就教导我们：“对于外国文化，排外主义的方针是错误的，应当尽量吸收进步的外国文化，以为发展中国新文化的借鉴；盲目搬用的方针也是错误的，应当以中国人民的实际需要为基础，批判地吸收外国文化。”我们决不能盲目搬用外国的东西，而只能批判地吸收，我们要永远记住毛主席的教导，“独立自主于工业、于农业，于技术革命和文化革命。”

本资料对于箱梁扭转计算，采用参考资料1的方法。在参加大桥梁局主持的《钢筋混凝土研究》的过程中，我们曾经编写了参考资料1，其中摘录了参考资料2中关于薄壁闭合截面扭转计算的基本内容。参改提摩西科（S. Timoshenko）开口薄壁截面的承受扭转刚度  $J_{W\perp}$  的计算原理，我们推导了一个薄壁闭合截面的承受扭转刚度  $J_W$  的计算公式。这次计算箱形梁，采用了这个公式，计算结果比较合理，见本资料第二部分——称例。为便于同志们审查，将参考资料1中的扭转计算转录于此。

这次计算和资料编写较为仓促，学力又不够，文中错误、缺点，恳请同志们批评指正。

# 目 录

## 第一部分 —— 计算原理

### 一、薄壁闭合截面构件的扭转计算

- (一) 基本假设, 1
- (二) 薄壁闭合截面的纯扭转方程, 1
- (三) 纯扭时, 构件横截面纵向位移  $W$  的计算, 3
- (四) 薄壁闭合截面的约束扭转方程。 6

### 二、全跨均匀偏载下的计算

- (一) 荷载静力变换, 11
- (二) 简单变形分析, 14
- (三) 弯曲模截面畸变微分方程的建立, 18
- (四) 简单畸变  $Y(z)$  的方程式, 23
- (五) 畸变应力计算, 26
- (六) 扭转应力计算, 27
- (七) 简单位移计算。 30

### 三、等截面梁的“三条腿”计算

- 四、变截面梁的处理, 44
- (一) 全跨均匀偏载下变截面梁的扭转计算, 45
- (二) 变截面深二条腿时的扭转计算, 46
- (三) 变截面梁横截面扭转模数按材料剪刚度  $R_f$  的计算, 51
- (四) 变截面梁各段模数按弹性矩的计算。 56

### 五、在集中偏载下的计算

- 六、在局部均匀偏载下的计算, 62
- 七、在集中偏载及均匀偏载共同作用下的计算。 64

## 第二部分 —— 举例

### —— ××桥箱形梁偏载应力计算 ——

一、椭形梁尺寸	67
二、椭形各板模木弹性矩的计标	71
三、 $l_1 = 370\text{cm}$ 范围内梁横截面框架平均抗剪刚度 $R_1$ 的计标	77
四、中间等截面范围内梁横截面框架抗剪刚度 $R_2$ 的计标	82
五、端隔墙抗剪刚度 $R_3$ 及 $R'_3$ 的计标	86
六、梁横截面框架模木抗剪刚度 $R_4$ 的计标	90
七、梁横截面扭转刚度计标	95
(一) $\beta = \frac{l_1}{2} = 135\text{cm}$ 处梁横截面扭转刚度计标	95.
(二) 离中间模截面扭转刚度计标	100
(三) $\beta = 230\text{cm}$ 处梁横截面扭转刚度计标	111
八、全跨均布荷载作用下的剪切应力计标	121
(一) 扭曲应力计标	121
(二) 扭转角方程中 $(\beta)$ 及扭转角计标	130
(三) 扭转弯力计标	135
九、称“三参数”时应力计标	141
(一) 扭曲应力计标	150
(二) 扭转角方程及扭转角计标	153
(三) 扭转弯力计标	156
十、在集中和简支均布荷载作用下的计标	161
(一) 扭曲应力计标	161
(二) 扭转角方程及扭转角计标	174
(三) 扭转弯力计标	177

# 第一部分 —— 斜截原理

## 一、薄壁闭合截面构件的扭转斜截

### (一) 基本假设

1. 闭合截面纯扭和约束扭转的纵向位移  $W$  的分布规律相同；
2. 杆件纵向纤维之间的横向正应力等于零。由此假设，得到纤维纵向（圆杆子面）正应力  $\sigma = \pm \varepsilon_z$ ，而纤维纵向应变为：

$$\varepsilon_z = \frac{\partial w}{\partial z}, \quad \therefore \sigma = \pm \frac{\partial w}{\partial z}.$$

3. 杆件纯扭时，剪应力  $\tau$  沿薄壁厚度均匀分布，并指向截面圆周的切线方向（图3）。

### (二) 薄壁闭合截面的纯扭转方程

将资料2的该部分内容摘录如下：

(图1a) 表示一薄壁闭合截面构件的端受到扭矩  $M_T$  作用，壁厚为  $s$ ，当壁厚均匀分布的剪应力为  $\tau$ ，在构件壁上取微分体 ABCD 为隔离体，因为是纯扭，在构件壁上没有正应力作用。剪应力  $\tau$  分布如(图1a)，则由微分体的平衡条件。

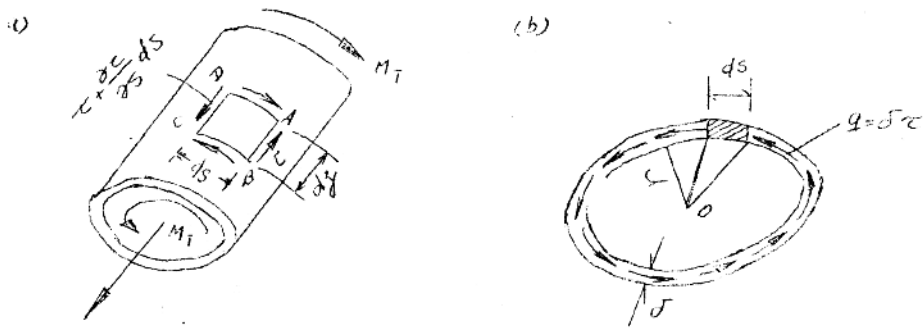


图 1

$$\text{得} \quad \oint \frac{\partial \epsilon}{\partial s} ds = \frac{\partial \epsilon}{\partial s} ds = 0, \quad \Omega = \oint \epsilon, \text{ 故闭合截}$$

面周界上各点的剪流互均相等(图1b);又因为只选构件两端作用有扭矩  $M_T$ ,故沿杆件长度的  $\Omega$  也是常数。当然面整个周界上的剪流且对任一点O(图1b)的力矩和  $\oint q ds$  应该等于外扭矩  $M_T$ 。

$$\text{即 } \oint q ds = M_T, \quad \text{令 } \oint q ds = W_K.$$

$$\therefore \Omega = \frac{M_T}{W_K}. \quad (1)$$

下面导出构件单位长度的扭转角  $\theta$  的表达式。由(图1a)所示构件截取一单位长度的构件,将此单位长度的构件分成一个沿周界  $ds$  宽度的元件(图2)。

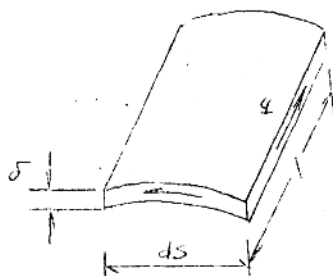


图 2

元件由  $q$  引起的纵向剪位移。

$$\Delta y = \frac{q ds}{G \times I \times \delta}$$

元件内纵放的剪切应变能。

$$\begin{aligned} du &= \frac{q}{2} \cdot \Delta y \\ &= -\frac{q^2 ds}{2 G I} \end{aligned}$$

单位长度构件的剪切应变能。

$$U = \oint -\frac{q^2 ds}{2 G I},$$

将(1)式代入,得  $U = \oint \frac{M_T^2 ds}{2 W_K^2 G I}$ 。外扭矩  $M_T$  对单位长度扭转角  $\theta$  所做的功。

$$T = \frac{1}{2} M_T \theta$$

$$= \frac{1}{2} M_T \theta = \oint \frac{M_T^2 ds}{G W_K^2} ,$$

由  $T = u$ , 得

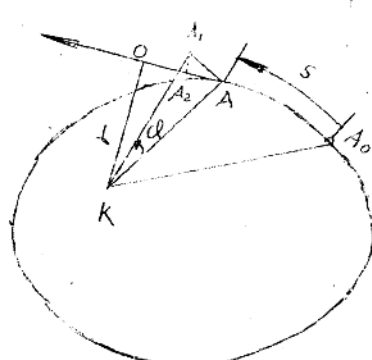
$$\therefore \theta = \frac{M_T}{G W_K^2} \oint \frac{ds}{\delta} = \frac{M_T S'_K}{G W_K^2} ,$$

此地  $S'_K = \oint \frac{ds}{\delta}$  (考虑沿闭合截面周界壁厚不等), 将  $\theta$  写成一般形式

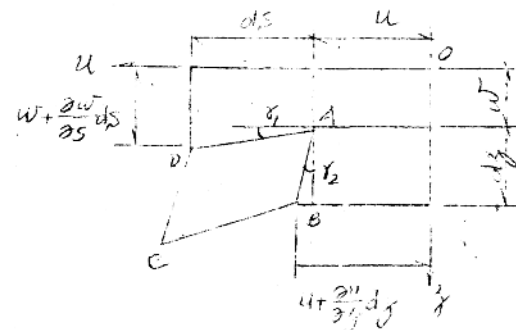
$$\theta = \frac{M_T}{G J_d} \quad (2)$$

(2) 式中  $G$  为构件材料的剪切弹性模量。  $J_d = \frac{W_K^2}{S'_K}$ 。

(三) 纯扭时, 构件横截面纵向位移  $W$  的计算。



(a)



(b)

图 3

下面求(图1a)构件横截面在扭矩  $M_T$  作用下的纵向位移  $W$ 。如图(3a)所示。设闭合截面绕中心  $K$  反时针方向旋转，我们来决定闭合截面周界(以闭合截面中心线来表示)任一点  $A$  的位移。 $A_0$  为杆端起点。 $KA_0$  为初直径， $A$  至  $A_0$  点的环向距离为  $S$ ， $KA$  为  $A$  点的外径。当闭合截面绕  $K$  点旋转  $\varphi$  角时， $A$  点移至  $A_1$ ， $AA_1$  与  $KA$  垂直， $AA_1 = KA \cdot \varphi$ ， $AA_1$  在  $A$  点圆周切线  $U$  上的弦形  $U = AA_2$ ， $U$  表示  $A$  点在该点圆周切线  $U$  方向的位移。 $K$  至切线  $U$  的距离  $KO = r$ ，显然  $\triangle AA_1 A_2$  与  $\triangle AKO$  相似，得

$$\frac{U}{KA \cdot \varphi} = \frac{r}{r_A} \quad \therefore U = r_A \varphi \quad (3).$$

再在构件  $A$  受扭后取一微分体  $ds dz$ ，并研究它的变形， $A$  点在切线  $U$  方向上的位移为  $U$ ，在  $z$  方向上的位移为  $W$ ，图 3b 表示该微分体的剪切变形，微分体的剪切应变

$$\gamma = \gamma_1 + \gamma_2 = \frac{\partial W}{\partial S} + \frac{\partial U}{\partial z},$$

$$\text{而 } r = \frac{\gamma}{\theta} = \frac{q}{GJ}$$

$$\therefore \frac{\partial W}{\partial S} + \frac{\partial U}{\partial z} = \frac{q}{GJ}, \text{ 而由(3)式, } \frac{\partial U}{\partial z} = r \frac{\partial \varphi}{\partial z} = -r\theta, \theta = \frac{\partial \varphi}{\partial z} \quad \text{构件在单位长度的扭转角, 得}$$

$$\frac{\partial W}{\partial S} = -r\theta + \frac{q}{GJ}, \text{ 整分, 得}$$

$$W = - \int_0^S r\theta ds + \int_0^S \frac{q}{GJ} ds + \bar{W} \quad (4)$$

(4) 式中  $\bar{W}$  为图 3a 中杆端起点  $A_0$  的  $z$  向位移，设闭合截面总周长为  $m$ ，则当  $A$  点绕行一周回到  $A_0$  点时，即当  $S = m$  时，

$$(w)_s=m=w_0,$$

$$\therefore w_0 = -\int \rho ds + \int \frac{q}{G} ds + w_0.$$

得  $\int \frac{q}{G} ds = \int \rho ds,$

而已令  $\int \frac{ds}{G} = s'_k$   $\int \rho ds = w_k$ ,

而  $\frac{q}{G}$  为常数,

$$\therefore \frac{q}{G} s'_k = \theta w_k$$

$$\therefore \frac{q}{G} = \theta \frac{w_k}{s'_k} = \theta p, \quad p = \frac{w_k}{s'_k}$$

代入(4)式, 得

$$\begin{aligned} w &= -\theta \int_0^s \rho ds + p \theta \int_0^s \frac{ds}{G} + w_0 \\ &= -\theta \bar{w}_s + p \theta s' + w_0 \end{aligned} \quad (5)$$

5) 式中  $s' = \int_0^s \frac{ds}{G}$ ,  $\bar{w}_s = \int_0^s \rho ds$ ,  $G$  与  $s$  无关,  
故提出在积分步之前。

沿闭合截面总周界长度内的平均纵向位移

$$\begin{aligned} \bar{w} &= \frac{1}{m} \int w ds \\ &= \frac{1}{m} \int [\theta \bar{w}_s + p \theta s' + w_0] ds \\ &= \frac{1}{m} \theta \int \bar{w}_s ds + \frac{1}{m} \int p \theta s' ds + w_0 \\ &= -\theta \bar{\bar{w}}_s + p \theta \bar{s}' + w_0. \end{aligned} \quad (6)$$

将(5)式或(6)式, 即得到自平均纵向位移起算的纵向位移( $\bar{s}$  以  $\bar{s}'$  表示)为:

$$w = \theta (\bar{w}_s - \bar{\bar{w}}_s) - p \theta (\bar{s}' - s') \quad (7)$$

$$(7) \text{ 式中 } \bar{w}_s = \frac{1}{m} \oint w_s ds, \quad \bar{s}' = \frac{1}{m} \oint s' ds.$$

#### (四) 薄壁闭合截面的约束扭转方程

当构件横截面不能自由弯曲或者扭矩使构件长度改变以及构件受弯曲时，都产生约束扭转。构件每单位长度的扭转角由沿构件长度改变，构件横截面中除剪应力外，还有正应力 $\sigma$ 作用。剪应力分两部分：一为纯扭产生的剪应力 $\tau_1$ ，另一为正应力 $\sigma$ 产生的剪应力 $\tau_2$ 。 $\tau_1$ 形成的抵抗扭矩为 $M_{T1}$ ，外扭矩 $M_T$ 与抵抗扭矩平衡，得 $M_{T1} + M_{T2} = M_T$ 。 $M_{T2}$ 计算如下：图4表示一端固定，另一端受扭矩 $M_T$ 作用的薄壁闭合截面构件，从其中截取一微分体 $dsdz$ ，由约束扭转引起的正应力 $\sigma$ 及伴之而产生的剪应力 $\tau_2$ 作用于其上而平衡（图4），该微分体上还作用着有纯扭剪应力 $\tau_1$ ，因其互相平衡，故未标出。由 $\Sigma F_z = 0$ ，得

$$\oint \frac{\partial \sigma}{\partial z} dz ds + \oint \frac{\partial \tau_2}{\partial s} ds dz = 0$$

$$\text{即 } \frac{\partial (\sigma \tau_2)}{\partial s} + \oint \frac{\partial \sigma}{\partial z} dz = 0,$$

$$\therefore \frac{\partial (\sigma \tau_2)}{\partial s} = - \oint \frac{\partial \sigma}{\partial z} dz,$$

$$\text{而 } \sigma \tau_2 = Q_2, \quad \sigma = E \frac{\partial w}{\partial z},$$

$$\therefore \frac{\partial Q_2}{\partial s} = E \frac{\partial^2 w}{\partial z^2}, \quad \text{由(7)式},$$

$$W = \theta(\bar{w}_s - w_s) - \rho \theta(\bar{s}' - s')$$

$s'$ ,  $w_s$  均与 $\theta$ 无关

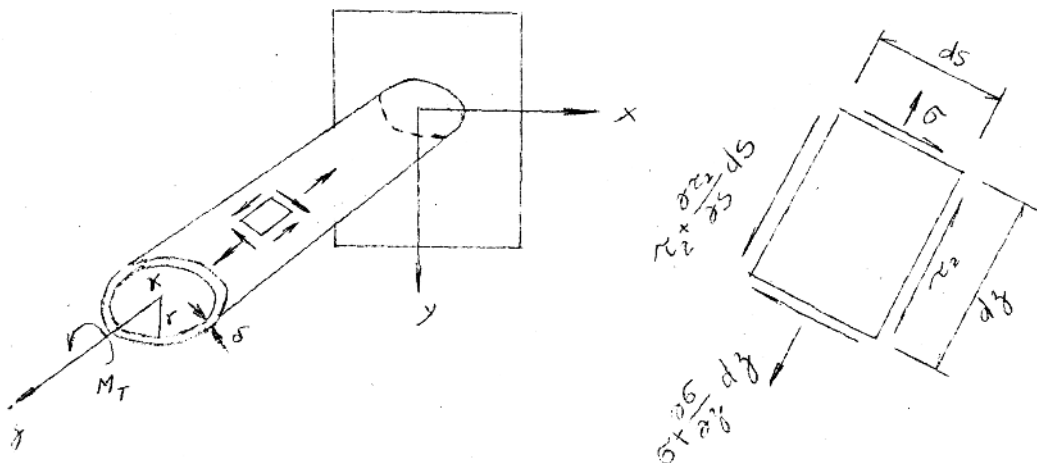


图 4

$$\therefore \frac{\partial \sigma}{\partial z} = E \frac{\partial^2 \theta}{\partial z^2} [(\bar{w}_s - w_s) - f(s' - s)]$$

$$= E \frac{\partial^3 \phi}{\partial z^3} [(\bar{w}_s - w_s) - f(s' - s)]$$

将  $\frac{\partial (\delta \tau_2)}{\partial s} = -f \frac{\partial \sigma}{\partial z}$  两边积分，得

$$Q_2 = - \int_0^s f \frac{\partial \sigma}{\partial z} ds + Q_0$$

$$= E \frac{\partial^3 \phi}{\partial z^3} \int_0^s [(\bar{w}_s - w_s) - f(s' - s')] ddz + Q_0$$

(因扭转角中与 s 无关，故  $E \frac{\partial^3 \phi}{\partial z^3}$  提在积分号前面)

这里  $Q_0$  为积分起始的构件横截面单位宽度上的剪力。现将资料 [2] 关于  $Q_0$  的计算摘录如下：

沿图 4 3 轴截取一单位长度构件为隔离体示于图 5a，在其上作用着剪应力  $Q_2(s)$  及正应力  $\sigma$ （起作用有纯扭矩，此即考虑均布剪力，故未标出），将隔离体在圆深处截开，如图所示，在切口两边沿 z 方向作用着剪力  $Q$ 。按剪力成对原理，在构件

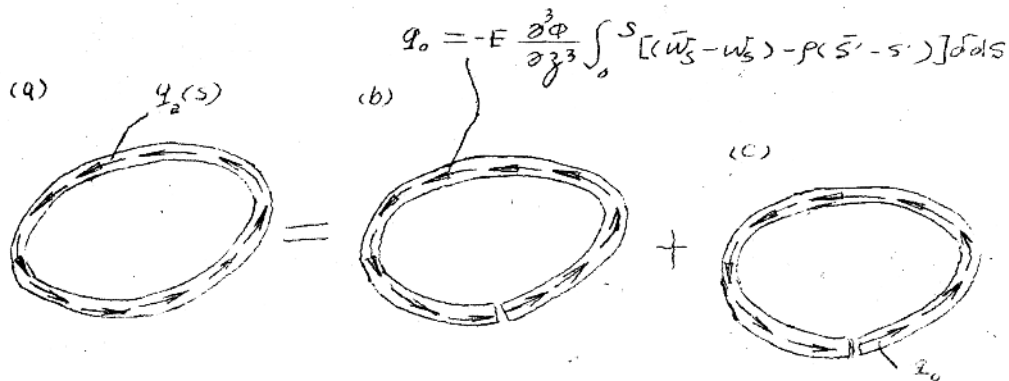


图 5

横截面上就有同一指向的剪流  $\Sigma_0$ 。(图 5c)。这样，闭口截面剪流  $\Sigma_s(s)$  等于(图 5b)开口截面剪流

$-E \frac{\partial^3 \phi}{\partial z^3} \int_0^S [(\bar{w}_s - w_s) - p(\bar{s}' - s')] ds$ 。与图 5c) 剪流  $\Sigma_0$  的叠加，剪力  $\Sigma_0$  的作用是消除缺口处的相对位移，以保持为闭合截面。 $\Sigma_0$  可用方法按闭合方程式

$$\Sigma_0 d_{11} + \Delta_{10} = 0 \text{ 林出，式中 } d_{11} = \oint \frac{ds}{G\delta} \text{ 是由力 } \Sigma_0 = 1$$

所产生的缺口两边的相对位移， $\Delta_{10} = \oint \frac{\Sigma_0 ds}{G\delta}$  表示图 5b) 开口截面剪流  $\Sigma_0 = -E \frac{\partial^3 \phi}{\partial z^3} \int_0^S [(\bar{w}_s - w_s) - p(\bar{s}' - s')] ds$

所产生的缺口两边的相对位移。

$$\begin{aligned} \text{故图 5c) 闭合剪流 } \Sigma_0 &= -\frac{\Delta_{10}}{d_{11}} = -\frac{-\oint \frac{\Sigma_0 ds}{G\delta}}{\oint \frac{ds}{G\delta}} = \\ &= \frac{\oint \left\{ E \frac{\partial^3 \phi}{\partial z^3} \int_0^S [(\bar{w}_s - w_s) - p(\bar{s}' - s')] ds \right\} \frac{ds}{G\delta}}{\oint \frac{ds}{G\delta}} \end{aligned}$$

$$= \frac{\oint \{ E \Phi''' \int_0^S [(\bar{w}_s - \bar{w}_{s'}) - p(\bar{s}' - s')] ds' \} ds}{S_K'}$$

此地  $ds' = \frac{ds}{\theta}$ ,

$\Omega_2$  对轴心  $K$  (图 4) 的扭矩  $M_{T2} = \oint \Omega_2 ds$ ,

前面已令  $\int_0^S r ds = w_s$ ,  $\therefore r ds = dw_s$ ,

$$\begin{aligned} \therefore M_{T2} &= \oint \Omega_2 dw_s = \oint \left\{ -E \frac{\partial^3 \Phi}{\partial z^3} \int_0^S (\bar{w}_s - w_s) - p(\bar{s}' - s') \right] \times \\ &\quad \times ds + \Omega_0 \right\} dw_s = \oint \left\{ -E \Phi''' \int_0^S [(\bar{w}_s - w_s) - p(\bar{s}' - s')] \right. \\ &\quad \left. \times ds \right\} dw_s + \frac{\oint \{ E \Phi''' \int_0^S [(\bar{w}_s - w_s) - p(\bar{s}' - s')] ds' \} ds}{S_K'} \\ &\quad \times \underline{\underline{\phi dw_s}} \end{aligned} \quad (8)$$

(因为  $\Omega_0$  沿横切面均为常数, 故摆在  $\oint dw_s$  之前).

由(7)式,  $w = \Theta [(\bar{w}_s - w_s) - p(s' - s)]$

$$\therefore \frac{dw}{ds} = \Theta \left[ -\frac{dw_s}{ds} + p \frac{ds'}{ds} \right] \quad (\text{因为 } \Theta \text{ 与 } s \text{ 无关})$$

$$\therefore dw = \Theta (-dw_s + p ds')$$

$$\therefore dw_s = -\frac{dw}{\Theta} + p ds'$$

将  $dw_s$  代入(8)式, 得

$$\begin{aligned} M_{T2} &= \oint \left\{ -E \Phi''' \int_0^S [(\bar{w}_s - w_s) - p(\bar{s}' - s')] ds' \right\} \left( -\frac{dw}{\Theta} + \right. \\ &\quad \left. + p ds' \right) + \frac{1}{S_K'} \oint \left\{ E \Phi''' \int_0^S [(\bar{w}_s - w_s) - p(\bar{s}' - s')] ds' \right\} \times \end{aligned}$$

$$\begin{aligned}
 & \times \phi \left( -\frac{dw}{\theta} + pds' \right) = \phi \left\{ E\phi''' \int_0^S [(\bar{w}_s - w_s) - p(s - s')] ds' \right\} \\
 & \times \frac{dw}{\theta} - \phi E\phi''' \times \int_0^S [(\bar{w}_s - w_s) - p(s - s')] ds' \} pds' - \\
 & - \frac{1}{S_k} \phi \left\{ E\phi''' \int_0^S [(\bar{w}_s - w_s) - p(s - s')] ds' \right\} ds' \times \\
 & \times \frac{1}{\theta} \phi dw + \frac{1}{S_k} \phi \left\{ E\phi''' \int_0^S [(\bar{w}_s - w_s) - p(s - s')] ds' \right\} ds' \} ds' \\
 & p \phi ds'
 \end{aligned}$$

因为  $\phi ds' = S_k'$  故上式中第3项与第4项相消，又因为

$$\begin{aligned}
 dw_s &= -\frac{dw}{\theta} + pds' , \quad \therefore \frac{dw}{\theta} = -dw_s + p \frac{\bar{w}_s - w_s}{S_k} S_k' = 0 \\
 \therefore \frac{1}{\theta} \phi dw &= -\phi dw_s + p \phi ds' = -\bar{w}_k + \frac{w_k}{S_k} S_k' = 0,
 \end{aligned}$$

故上式中第三项为零。这样，这样。

$$M_{T2} = \phi \left\{ E\phi''' \int_0^S [(\bar{w}_s - w_s) - p(s - s')] ds' \right\} \frac{dw}{\theta}$$

又由(2)式， $\frac{dw}{\theta} = d[(\bar{w}_s - w_s) - p(s - s')]$ ，代入上式，并用部分积分法展开，得

$$\begin{aligned}
 M_{T2} &= \phi \left\{ E\phi''' \int_0^S [(\bar{w}_s - w_s) - p(s - s')] ds' \right\} d[(\bar{w}_s - w_s) - \\
 &- p(s - s')] = E\phi''' [(\bar{w}_s - w_s) - p(s - s')] \int_0^S [(\bar{w}_s - w_s) - \\
 &- p(s - s')] ds' - E\phi''' \phi [(\bar{w}_s - w_s) - p(s - s')] \\
 &\times ds,
 \end{aligned}$$

为了证明上式中  $\int_0^S [(\bar{w}_s - w_s) - p(s - s')] ds' = 0$ 。

我们做是图中所示构件的端部断面上有沿着子方向的分布的

荷载  $P$  作用， $P$  並不使构件转动，利用与式(1)位互等定理，

$$\int w P ds = \int \frac{d\phi}{dz} [(\bar{w}_s - w_s) - P(\bar{s}' - s')] P ds =$$

$$= P \frac{d\phi}{dz} \int [(\bar{w}_s - \bar{w}_s) - P(\bar{s}' - s')] ds = M_T \cdot 0 = 0, \text{ 而}$$

$$\frac{d\phi}{dz} \neq 0, \text{ 故 } \int [(\bar{w}_s - w_s) - P(\bar{s}' - s')] ds = 0,$$

$$\text{或 } \int_0^{s=m} [(\bar{w}_s - w_s) - P(\bar{s}' - s')] ds = \int [(\bar{w}_s - w_s) - P(\bar{s}' - s')] \times \\ \times ds = 0,$$

$$\text{最后得 } M_{T2} = -E\phi'' \int [(\bar{w}_s - w_s) - P(\bar{s}' - s')]^2 ds$$

$$= -EJ_w \frac{d^3\phi}{dz^3} \quad (9)$$

$$(9) \text{ 式中 } J_w = \int [(\bar{w}_s - w_s) - P(\bar{s}' - s')]^2 ds,$$

$EJ_w$  为构件横截面的柔曲转刚度，

则构件的柔曲转的微分方程为

$$M_T = M_{T1} + M_{T2} = GJ_d \frac{d\phi}{dz} - EJ_w \frac{d^3\phi}{dz^3} \quad (10)$$

## 二、全跨均有偏载下的计算

### (一) 荷载静力变换

梁梁受载如图 6(a)， $P$  为单位长度上的偏载。

由图 6(a) 梁梁纵轴截取单位长度的梁单元体示于图 6(b)，作用于其上的外荷载为  $P$ 。假定梁横截面上下左右对称，故重心  $K$  在中心点。 $P$  对单元体的作用可交换为图 6(c)、(d)、(e) 受